

## Conservação do momento linear

### Tensor de Maxwell:

Força electromagnética que actua num elemento de volume  $V$ :

$$\vec{F} = \int_V [\vec{E} + (\vec{v} \wedge \vec{B})] \rho d\vec{r} = \int_V [\rho \vec{E} + (\vec{J} \wedge \vec{B})] d\vec{r}$$

Podemos  $\therefore$  definir uma densidade volumétrica de força  $\vec{f}$

$$\vec{f} = \rho \vec{E} + \vec{J} \wedge \vec{B}$$

Num meio material, devemos exprimir esta densidade  $\vec{f}$  em termos da densidade e da corrente de cargas livres. Então:

$$\nabla \cdot \vec{D} = \rho_f \quad ; \quad \nabla \wedge \vec{H} = \vec{J}_f + \frac{\partial \vec{D}}{\partial t}$$

$$\vec{f} = (\nabla \cdot \vec{D}) \vec{E} + \left[ \nabla \wedge \vec{H} + \frac{\partial \vec{D}}{\partial t} \right] \wedge \vec{B}$$

Naturalmente:

$$\frac{\partial}{\partial t} [\vec{D} \wedge \vec{B}] = \frac{\partial \vec{D}}{\partial t} \wedge \vec{B} + \vec{D} \wedge \frac{\partial \vec{B}}{\partial t} \Rightarrow$$

$$\Rightarrow - \frac{\partial \vec{D}}{\partial t} \wedge \vec{B} = \vec{D} \wedge \frac{\partial \vec{B}}{\partial t} - \frac{\partial}{\partial t} [\vec{D} \wedge \vec{B}]$$

Logo:

$$\vec{f} = (\nabla \cdot \vec{D}) \vec{E} - \vec{D} \wedge (\nabla \wedge \vec{H}) + \vec{D} \wedge \frac{\partial \vec{B}}{\partial t} - \frac{\partial}{\partial t} [\vec{D} \wedge \vec{B}]$$

$$\vec{f} = (\nabla \cdot \vec{D}) \vec{E} - \vec{D} \wedge (\nabla \wedge \vec{H}) + \vec{D} \wedge (\nabla \wedge \vec{E}) - \frac{\partial}{\partial t} [\vec{D} \wedge \vec{B}]$$

Como  $\nabla \cdot \vec{B} = 0$ , podemos escrever:

$$\vec{f} = \left[ (\nabla \cdot \vec{D}) \vec{E} - \vec{D} \wedge (\nabla \wedge \vec{E}) \right] + \left[ (\nabla \cdot \vec{B}) \vec{H} - \vec{B} \wedge (\nabla \wedge \vec{H}) \right] - \frac{d}{dt} [\vec{D} \wedge \vec{B}]$$

Em vez de prosseguir com toda a generalidade, vamos admitir que o meio é neutro e isotrópico. Neste caso

$$\vec{D} = \epsilon \vec{E} \quad \vec{B} = \mu \vec{H}$$

Então:

$$\vec{f} = \epsilon \left[ (\nabla \cdot \vec{E}) \vec{E} - \vec{E} \wedge (\nabla \wedge \vec{E}) \right] + \frac{1}{\mu} \left[ (\nabla \cdot \vec{B}) \vec{B} - \vec{B} \wedge (\nabla \wedge \vec{B}) \right] - \epsilon \frac{d}{dt} [\vec{E} \wedge \vec{B}]$$

Consideremos a identidade:

$$\nabla (\vec{a} \cdot \vec{b}) = \vec{a} \wedge (\nabla \wedge \vec{b}) + \vec{b} \wedge (\nabla \wedge \vec{a}) + (\vec{a} \cdot \nabla) \vec{b} + (\vec{b} \cdot \nabla) \vec{a}$$

Se  $\vec{a} = \vec{b}$  obtemos:

$$\frac{1}{2} \nabla (\vec{a}^2) = (\vec{a} \wedge \nabla \wedge \vec{a}) + (\vec{a} \cdot \nabla) \vec{a}$$

então:

$$\vec{E} \wedge (\nabla \wedge \vec{E}) = \frac{1}{2} \nabla (E^2) - (\vec{E} \cdot \nabla) \vec{E}$$

e

$$\vec{B} \wedge (\nabla \wedge \vec{B}) = \frac{1}{2} \nabla (B^2) - (\vec{B} \cdot \nabla) \vec{B}$$

Logo

$$\vec{f} = \epsilon \left[ (\nabla \cdot \vec{E}) \vec{E} + (\vec{E} \cdot \nabla) \vec{E} \right] - \frac{1}{2} \nabla (\epsilon E^2) + \frac{1}{\mu} \left[ (\nabla \cdot \vec{B}) \vec{B} + (\vec{B} \cdot \nabla) \vec{B} \right] - \frac{1}{2} \nabla \left( \frac{B^2}{\mu} \right) - \epsilon \frac{d}{dt} [\vec{E} \wedge \vec{B}]$$

Definieren o seguinte tensor:  $\bar{T}$ :

$$T_{ij} = \epsilon \left[ E_i E_j - \frac{1}{2} \delta_{ij} E^2 \right] + \frac{1}{\mu} \left[ B_i B_j - \frac{1}{2} \delta_{ij} B^2 \right]$$

Por exemplo:

$$\begin{aligned} T_{xx} &= \epsilon \left[ E_x^2 - \frac{1}{2} (E_x^2 + E_y^2 + E_z^2) \right] + \frac{1}{\mu} \left[ B_x^2 - \frac{1}{2} (B_x^2 + B_y^2 + B_z^2) \right] \\ &= \frac{1}{2} \epsilon \left[ E_x^2 - E_y^2 - E_z^2 \right] + \frac{1}{2\mu} \left[ B_x^2 - B_y^2 - B_z^2 \right] \end{aligned}$$

$$T_{xy} = \epsilon E_x E_y + \frac{1}{\mu} B_x B_y$$

Esta entidade pode representar-se (como uma box) por uma matriz:

$$\begin{bmatrix} T_{xx} & T_{xy} & T_{xz} \\ T_{yx} & T_{yy} & T_{yz} \\ T_{zx} & T_{zy} & T_{zz} \end{bmatrix}$$

Consideremos

$$(\nabla \cdot \bar{T})_j \equiv \text{a componente } j \text{ do vector } \nabla \cdot \bar{T}$$

$$\begin{aligned} (\nabla \cdot \bar{T})_j &= \sum_i \nabla_i T_{ij} = \sum_i \epsilon \left[ \frac{\partial E_i}{\partial x_i} E_j + E_i \frac{\partial E_j}{\partial x_i} - \frac{1}{2} \delta_{ij} \frac{\partial E^2}{\partial x_i} \right] + \\ &\quad + \sum_i \frac{1}{\mu} \left[ \frac{\partial B_i}{\partial x_i} B_j + B_i \frac{\partial B_j}{\partial x_i} - \frac{1}{2} \delta_{ij} \frac{\partial B^2}{\partial x_i} \right] \end{aligned}$$

$$(\nabla \cdot \vec{T})_j = \epsilon \left[ (\nabla \cdot \vec{E}) E_j + (\vec{E} \cdot \nabla) E_j - \frac{1}{2} \nabla_j E^2 \right] + \\ + \frac{1}{\mu} \left[ (\nabla \cdot \vec{B}) B_j + (\vec{B} \cdot \nabla) B_j - \frac{1}{2} \nabla_j B^2 \right]$$

Como vimos:

$$\vec{f} = \epsilon \left[ (\nabla \cdot \vec{E}) \vec{E} + (\vec{E} \cdot \nabla) \vec{E} - \frac{1}{2} \nabla E^2 \right] + \\ + \frac{1}{\mu} \left[ (\nabla \cdot \vec{B}) \vec{B} + (\vec{B} \cdot \nabla) \vec{B} - \frac{1}{2} \nabla B^2 \right] - \epsilon \frac{\partial}{\partial t} [\vec{E} \wedge \vec{B}]$$

$$\vec{f} \equiv \nabla \cdot \vec{T} - \epsilon \mu \frac{\partial}{\partial t} \left[ \frac{1}{\mu} (\vec{E} \wedge \vec{B}) \right]$$

$$\boxed{\vec{f} = \nabla \cdot \vec{T} - \epsilon \mu \frac{\partial \vec{S}}{\partial t}} \equiv \text{densidade volumétrica de força eletromagnética}$$

Consideremos então um volume  $V$  delimitado por uma superfície  $\Sigma$ . A força eletromagnética total que atua nesse volume é:

$$\vec{F} = \int_V \vec{f} d\vec{r} = \int_V (\nabla \cdot \vec{T}) d\vec{r} - \epsilon \mu \int_V \frac{\partial \vec{S}}{\partial t} d\vec{r}$$

Mas, usando o teorema de Gauss,

$$\vec{F} = \int_{\Sigma} \vec{T} \cdot \hat{n} d\Sigma - \epsilon \mu \int_V \frac{\partial \vec{S}}{\partial t} d\vec{r}$$

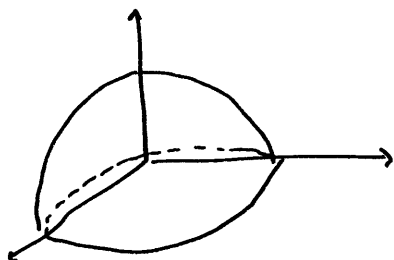
Nota que  $\vec{T}$  tem o significado de uma força por unidade de área que atua na superfície  $\Sigma$ :

$$f_i^Z = T_{ij} n_j$$

Vejam como isso pode ser útil:

### • Exemplo 8.2 (Griffiths):

Considere uma esfera uniformemente carregada (carga  $Q$ ).  
Determine a força que o hemisfério ~~superior~~ exerce sobre o hemisfério ~~inferior~~.



Solucões usando o Tensor de Maxwell:

A superfície que delimita o hemisfério <sup>superior</sup> ~~superior~~ e é constituída pela <sup>superfície de</sup> ~~hemisfério~~ <sup>superfície de</sup> hemisfério superior, mais o plano equatorial.

Na superfície do hemisfério, o campo elétrico é:

$$\vec{E} = \frac{1}{4\pi\epsilon_0} \frac{Q}{R^2} \hat{r}$$

Calculemos  $\vec{T}$  nesta região:

$$\hat{r} = \sin\theta \cos\phi \hat{x} + \sin\theta \sin\phi \hat{y} + \cos\theta \hat{z}$$

$$\vec{E} = \frac{1}{4\pi\epsilon_0} \frac{Q}{R^2} [\sin\theta \cos\phi \hat{x} + \sin\theta \sin\phi \hat{y} + \cos\theta \hat{z}]$$

$$T_{ij} = \epsilon_0 \left[ E_i E_j - \frac{1}{2} \delta_{ij} E^2 \right] + \frac{1}{\mu_0} \left[ B_i B_j - \frac{1}{2} \delta_{ij} B^2 \right]$$

$T_{ij}$  = componente segundo  $i$  da força exercida num.  
 superfície perpendicular a  $j$ .  $\left( f_i = T_{ij} n_j \right)$

Por simetria, podemos concluir que a força total vai  
 ter o direction de  $z z'$ . Por esta razão, é suficiente  
 considerar o componente segundo  $z$  da força que atua  
 na superfície da hemisféria. Temos  $\therefore$  de considerar apenas  
 $T_{zx}$ ,  $T_{zy}$  e  $T_{zz}$

$$f_z = T_{zx} n_x + T_{zy} n_y + T_{zz} n_z$$

$$T_{zx} = \epsilon_0 E_x E_z = \epsilon_0 \left( \frac{Q}{4\pi \epsilon_0 R^2} \right)^2 \sin \theta \cos \phi \cos \theta$$

$$T_{zy} = \epsilon_0 \left( \frac{Q}{4\pi \epsilon_0 R^2} \right)^2 \sin \theta \sin \theta \sin \phi \cos \theta$$

$$T_{zz} = \frac{\epsilon_0}{2} (E_z^2 - E_x^2 - E_y^2) = \frac{\epsilon_0}{2} \left( \frac{Q}{4\pi \epsilon_0 R^2} \right)^2 [\cos^2 \theta - \sin^2 \theta]$$

$$\begin{aligned}
 \bar{F}_z = & \epsilon_0 \left( \frac{Q}{4\pi \epsilon_0 R^2} \right)^2 \int_{\text{hemisf.}} \left[ \sin^2 \theta \cos^2 \phi \cos \theta + \sin^2 \theta \cos \theta \sin^2 \phi + \right. \\
 & \left. + \frac{1}{2} \cos \theta [\cos^2 \theta - \sin^2 \theta] \right] R^2 \sin \theta d\theta d\phi \\
 & \underbrace{\left( \sin^2 \theta \cos \theta - \frac{1}{2} \sin^2 \theta \cos \theta + \frac{1}{2} \cos \theta \cos^2 \theta \right)}_{\text{}} \cdot R^2 \sin \theta d\theta d\phi
 \end{aligned}$$

$$\begin{aligned}
 F_z &= \epsilon_0 \left( \frac{Q}{4\pi\epsilon_0 R} \right)^2 \frac{1}{2} \iint \sin\theta \cos\theta \, d\theta \, d\phi \\
 &= \epsilon_0 \left( \frac{Q}{4\pi\epsilon_0 R} \right)^2 \frac{1}{2} 2\pi \int_0^{\pi/2} \sin\theta \cos\theta \, d\theta \\
 &= \cancel{\epsilon_0} \frac{1}{4\pi\epsilon_0} \frac{Q^2}{8R^2} \quad (\text{sup. hemisphere})
 \end{aligned}$$

Disco equatorial:

$$\vec{E} = \frac{1}{4\pi\epsilon_0} \frac{Q}{R^3} \vec{r}_{eq.} = \frac{1}{4\pi\epsilon_0} \frac{Q}{R^3} r (\cos\phi \vec{x} + \sin\phi \vec{y})$$

$$T_{zz} = \epsilon_0 \left[ E_z^2 - E_x^2 - E_y^2 \right] \frac{1}{2} = - \frac{\epsilon_0}{2} \left( \frac{Q}{4\pi\epsilon_0 R^3} \right)^2 r^2$$

$$\begin{aligned}
 T_{zz} \, d\mathbf{m}_z &= + \frac{\epsilon_0}{2} \left( \frac{Q}{4\pi\epsilon_0 R^3} \right)^2 r^2 r \, d\phi \, dr \\
 &= \frac{\epsilon_0}{2} \left( \frac{Q}{4\pi\epsilon_0 R^3} \right)^2 \int_0^R dr \int_0^{2\pi} r^3 \, dr \, d\phi \\
 &= \cancel{\frac{\epsilon_0}{2}} \left( \frac{Q}{4\pi\epsilon_0 R^3} \right)^2 \cancel{\pi} \frac{R^4}{4}
 \end{aligned}$$

$$\epsilon_0 \frac{Q^2}{4\pi\epsilon_0 R^2} \frac{1}{16R^2}$$

Logo, o termo total é:

$$F_z = \frac{1}{4\pi\epsilon_0} \frac{3Q^2}{16R^2}$$

Método - 2 :  $\bar{Z}$  é uma qualquer superfície que delimita o volume ocupado pelo campo no hemisfério superior.

Podemos considerar toda o plano  $xy$ , mais a semi-esfera de raio infinito. Esta última superfície não contribui para o fluxo porque o campo é nulo. Fica então a integrar sobre todo o plano  $xy$ . Vejamos:

Dentro do círculo de raio  $R$ , vimos já que  $(F_z)_1 = \frac{Q^2}{4\pi\epsilon_0} \frac{1}{16R^2}$ . Vejamos agora a contribuição do

plano para  $r > R$ .

Aqui 
$$\vec{E}(\vec{r}) = \frac{1}{4\pi\epsilon_0} \frac{Q}{r^2} \hat{r} = \frac{1}{4\pi\epsilon_0} \frac{Q}{r^2} [\cos\theta \hat{x} + \sin\theta \hat{y}]$$

$$\begin{array}{ccc} T_{zx} m_x & + & T_{zy} m_y + T_{zr} m_z \\ \parallel & & \downarrow \\ 0 & & 0 \end{array}$$

$$\frac{1}{2} \epsilon [-E_x^2 - E_y^2] = -\frac{1}{2} \epsilon_0 \left( \frac{Q}{4\pi\epsilon_0} \right)^2 \frac{1}{r^4}$$

$$(F_z)_2 = \frac{1}{2} \epsilon_0 \left( \frac{Q}{4\pi\epsilon_0} \right)^2 \int_R^\infty \int_0^{2\pi} \frac{1}{r^4} r d\phi dr$$

$$= \frac{1}{2} \epsilon_0 \left( \frac{Q}{4\pi\epsilon_0} \right)^2 \cdot 2\pi \left( -\frac{1}{2r^2} \right) \Big|_R^\infty$$

$$= \frac{Q^2}{4\pi\epsilon_0} \frac{1}{8R^2} \quad \square$$



Método - 3 → Integração direta, ignorando o teorema de Maxwell:

$$\text{Dentro da esfera, } \vec{E} = \frac{1}{4\pi\epsilon_0} \frac{Q}{R^3} \vec{r}$$

$$\text{A força por unidade de volume é } \rho(\vec{r}) \vec{E}(\vec{r}) dV$$

$$= \frac{Q}{\frac{4}{3}\pi R^3} \cdot \frac{Q}{4\pi\epsilon_0 R^3} \vec{r} dV$$

A componente  $zz'$  desta força é:

$$dF_z = \epsilon_0 \left( \frac{Q}{4\pi\epsilon_0 R^3} \right)^2 r \cos\theta \cdot (r^2 \sin\theta dr d\theta d\phi)$$

$$= \frac{3}{\epsilon_0} \left( \frac{Q}{4\pi R^3} \right)^2 \int_0^R r^3 dr \int_0^{\pi/2} \sin\theta \cos\theta d\theta \int_0^{2\pi} d\phi$$

$$= \frac{3}{\epsilon_0} \left( \frac{Q}{4\pi R^3} \right)^2 \frac{R^4}{4} \cdot \frac{\sin\frac{\pi}{2}}{2} \cdot 2\pi = \frac{3 Q^2}{4\pi\epsilon_0 \cdot 16 R^2}$$

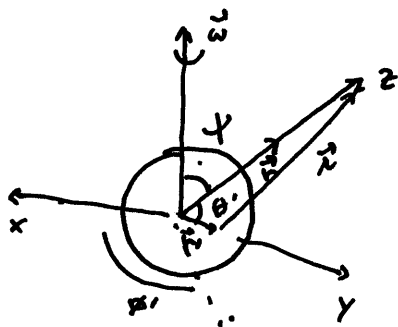
□

Problema 8.3 (Griffiths) <sup>(\*)</sup>

Calcule a força de atração magnética entre os hemisférios norte e sul de uma superfície esférica uniformemente carregada e em rotação.

Solução:

Campo magnético dentro e fora da esfera oca:



$$\vec{A}(\vec{r}) = \frac{\mu_0}{4\pi} \int \frac{\vec{K}(\vec{r}')}{r} d\Sigma$$

$$r = \sqrt{R^2 + r^2 - 2rR \cos\theta'}$$

$$d\Sigma = R^2 \sin\theta' d\theta' d\phi'$$

$$\vec{K} = \sigma \vec{v}$$

$$\vec{v} = \vec{\omega} \times \vec{r}' = \begin{vmatrix} \hat{x} & \hat{y} & \hat{z} \\ \omega \sin\theta & 0 & \omega \cos\theta \\ R \sin\theta' \cos\phi' & R \sin\theta' \sin\phi' & R \cos\theta' \end{vmatrix} =$$

$$= R\omega \left[ -(\cos\theta + \sin\theta' \sin\phi') \hat{x} + (\sin\theta + \sin\theta' \cos\phi' - \sin\theta \cos\theta') \hat{y} + \right. \\ \left. + (\sin\theta + \sin\theta' \sin\phi') \hat{z} \right]$$

Só o termo oscilatório contribui (devido que  $\int_0^{2\pi} \sin\phi' d\phi' = \int_0^{2\pi} \cos\phi' d\phi' = 0$ )  
Futuro.

$$\begin{aligned}
 \vec{A}(\vec{r}) &= -\frac{\mu_0}{4\pi} \int \frac{\overbrace{\sigma R \omega \sin\theta \cos\theta'}^{\vec{\omega} \cdot \vec{r}}}{r^2} d\vec{\Sigma} \\
 &= -\frac{\mu_0 \omega}{4\pi} \int \sigma R \omega \sin\theta \cos\theta' R^2 \sin\theta' d\theta' d\phi' \\
 &= \begin{cases} \vec{A}(\vec{r}) = \frac{\mu_0 R \sigma}{3} \vec{\omega} \cdot \vec{r} & (\text{dentro do esfera}) \\ \vec{A}(\vec{r}) = \frac{\mu_0 R^4 \sigma}{3 r^3} \vec{\omega} \cdot \vec{r} & (\text{fora do esfera}) \end{cases}
 \end{aligned}$$

$$\vec{B} = \nabla \wedge \vec{A}(\vec{r}) = \begin{cases} \frac{2}{3} \mu_0 \sigma R \omega \hat{z} & (\text{dentro}) \\ \frac{\mu_0}{4\pi r^3} \underbrace{\left[ \frac{4}{3} \pi R^3 \sigma \omega R \right]}_m \left[ 2 \cos\theta \hat{r} + \sin\theta \hat{\theta} \right] & (\text{fora}) \end{cases}$$

Podemos agora calcular o fluxo de Maxwell. Só a parte superior soma. Então:

$$\left( \vec{B} \cdot d\vec{\Sigma} \right)_Z = B_z d\Sigma_x + B_z d\Sigma_y + B_z d\Sigma_z =$$

$$\begin{aligned}
 &= \frac{1}{\mu_0} \left[ B_z B_x d\Sigma_x + B_z B_y d\Sigma_y + B_z B_z d\Sigma_z - \frac{1}{2} B^2 d\Sigma_z \right] = \\
 &= \frac{1}{\mu_0} \left[ B_z (\vec{B} \cdot d\vec{\Sigma}) - \frac{1}{2} B^2 d\Sigma_z \right]
 \end{aligned}$$

$\Sigma = ?$  : hemisfério superior + plano equatorial.

i) Hemisfério superior (campo exterior em  $r=R$ ) :

$$\begin{aligned}
 B_z &= \frac{\mu_0 m}{4\pi R^3} \left[ 2 \cos \theta \underbrace{(\hat{r} \cdot \hat{z})}_{\cos \theta} + \sin \theta \underbrace{(\hat{\theta} \cdot \hat{z})}_{-\sin \theta} \right] = \\
 &= \frac{\mu_0 m}{4\pi R^3} [2 \cos^2 \theta - \sin^2 \theta] = \frac{\mu_0 m}{4\pi R^3} [3 \cos^2 \theta - 1]
 \end{aligned}$$

$$d\vec{z} = R^2 \sin \theta d\theta d\phi \hat{r}$$

$$\vec{B} \cdot d\vec{z} = \frac{\mu_0 m}{4\pi R^3} 2 \cos \theta \cdot R^2 \sin \theta d\theta d\phi$$

$$\left( \vec{T} \cdot d\vec{z} \right)_z = \frac{1}{\mu_0} \left[ B_z (\vec{B} \cdot d\vec{z}) - \frac{1}{2} B^2 d\vec{z}_z \right]$$

$$\begin{aligned}
 &= \frac{1}{\mu_0} \left\{ \left( \frac{\mu_0 m}{4\pi R^3} \right)^2 [3 \cos^2 \theta - 1] \cdot 2 \cos \theta \sin \theta R^2 d\theta d\phi - \right. \\
 &\quad \left. - \frac{1}{2} \left[ \frac{\mu_0 m}{4\pi R^3} \right]^2 \underbrace{[4 \cos^2 \theta + \sin^2 \theta]}_{(3 \cos^2 \theta + 1)} \cdot R^2 \sin \theta \cos \theta d\theta d\phi \right\}
 \end{aligned}$$

$$= \frac{\mu_0}{2} \left( \frac{6 \omega R^2}{3} \right)^2 [9 \cos^2 \theta - 5] \sin \theta \cos \theta d\theta d\phi$$

$$\int_0^{2\pi} d\phi \int_0^{\pi/2} \frac{\mu_0}{2} \left( \frac{6 \omega R^2}{3} \right)^2 [9 \cos^2 \theta - 5] \sin \theta \cos \theta d\theta =$$

$$= - \frac{\mu_0 \pi}{4} \left( \frac{6 \omega R^2}{3} \right)^2$$

Contribuições do plano equatorial:

$$B_z = \frac{2}{3} \mu_0 \sigma R \omega \hat{z}$$

$$d\vec{\Sigma} = -r d\theta d\phi \hat{z}$$

$$\left( \vec{T} \cdot d\vec{\Sigma} \right)_z = \frac{1}{\mu_0} \left[ B_z (\vec{B} \cdot d\vec{\Sigma}) - \frac{1}{2} B^2 d\vec{\Sigma} \right]$$

$$= \frac{1}{\mu_0} \left[ \frac{2}{3} \mu_0 \sigma R \omega \right]^2 \left\{ -r d\theta d\phi + \frac{1}{2} r d\theta d\phi \right\} =$$

$$= - \frac{1}{2\mu_0} \left[ \frac{2}{3} \mu_0 \sigma R \omega \right]^2 r dr d\phi$$

Integrando:

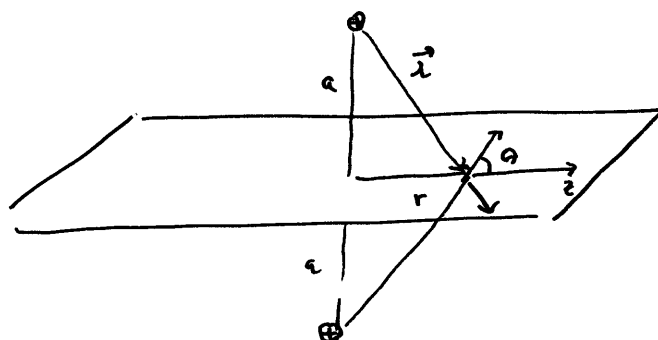
$$= \frac{2\pi}{2\mu_0} \left[ \frac{2}{3} \mu_0 \sigma R \omega \right]^2 \int_0^R r dr = - 2\pi \mu_0 \left( \frac{\sigma \omega R^2}{3} \right)^2$$

Força total:

$$\vec{F} = - \pi \mu_0 \left( \frac{\sigma \omega R^2}{3} \right)^2 \left[ \frac{1}{4} + 2 \right] \hat{z} = - \pi \mu_0 \left( \frac{\sigma \omega R^2}{3} \right)^2 \hat{z}$$

□

Problema 8.4 (Griffiths) :



Consider duas cargas de igual sinal separadas por uma distância  $2a$ . Considere o plano equidistante destas cargas.

Determine a força repulsiva entre as duas cargas integrando o tensor de Maxwell sobre este plano:

Solução:

$$\left( \vec{T}, d\vec{\Sigma} \right)_z = T_{zz} d\Sigma_z = \epsilon_0 \left[ E_z^2 - \frac{1}{2} E^2 \right] (-r d\phi dr)$$

$$\vec{E} = \frac{1}{4\pi\epsilon_0} 2 \frac{q}{r^2} \cos\theta \hat{r} \quad ; \quad \left( \cos\theta = \frac{r}{r} \right)$$

$\Downarrow$

$$E_z = 0 \quad ; \quad E^2 = \left[ \frac{2}{4\pi\epsilon_0} \frac{q}{(r^2+a^2)^{3/2}} \frac{r}{(r^2+a^2)^{1/2}} \right]^2$$

$$= \left( \frac{q}{2\pi\epsilon_0} \right)^2 \frac{r^2}{(r^2+a^2)^3}$$

$$F_z = -\frac{1}{2} \epsilon_0 \left( \frac{q}{2\pi\epsilon_0} \right)^2 \int_0^\infty \frac{r^2}{(r^2+a^2)^3} (-2\pi r dr)$$

$$= \frac{1}{2} 2\pi \epsilon_0 \left( \frac{q}{2\pi\epsilon_0} \right)^2 \int_0^\infty \frac{r^3}{(r^2+a^2)^3} dr$$

$$= \frac{1}{4\pi\epsilon_0} \frac{1}{2} \int_0^\infty \frac{u du}{(u+a^2)^3} = \frac{1}{4\pi\epsilon_0} \frac{q^2}{(2a)^2} \quad !!! \quad \begin{cases} u = r^2 \\ du = 2r dr \end{cases}$$

Conservação do momento linear:

$$\vec{F} = \frac{d\vec{P}_{mec}}{dt} = -\epsilon\mu \frac{d}{dt} \int_V \vec{S} \cdot d^3r + \int_{\Sigma} \vec{T} \cdot d\vec{\Sigma}$$

↓  
Momento mecânico  
total das partículas

↓  
- Momento total  
associado ao campo!

↓  
Momento/tempo  
que entra  
através do  
superfície  $\Sigma$ .

$\therefore \boxed{\vec{P} \quad \epsilon\mu \vec{S}}$   $\equiv$  densidade volumétrica de momento associada  
ao campo eletromagnético.

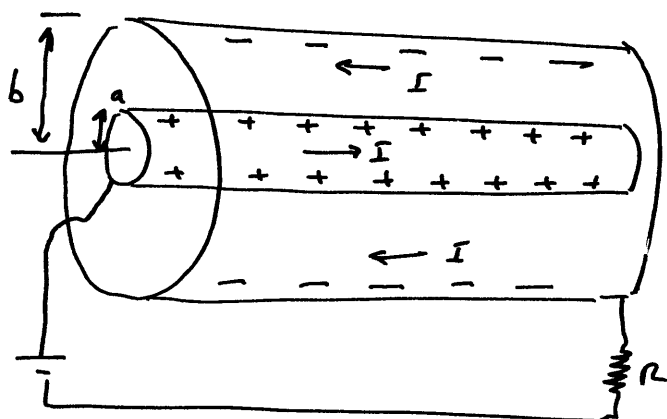
A equação anterior pode escrever-se como:

$$\boxed{\frac{d\vec{P}_{mec}}{dt} + \frac{d\vec{P}_{em}}{dt} = \nabla \cdot \vec{T}}$$

Esta equação exprime a conservação (total) do  
momento linear;  $-\vec{T} \equiv$  fluxo de densidade de momento  
linear.

Exemplo 8.3 (Griffiths):

Exemplo 8.3 (Griffiths):



Como coaxial tem, o condutor central tem carga  $+\lambda$  por unidade de comprimento e transporta uma corrente  $I$  uniforme. (ver fig)

O condutor exterior transporta carga e corrente opostas. Qual é o momento linear associado ao campo eletromagnético?

O campo das não nulas no espaço entre condutores. Ai, temos:

$$E \cdot 2\pi s \cdot l = \frac{\lambda l}{\epsilon_0} \rightarrow \vec{E} = \frac{1}{2\pi\epsilon_0} \frac{\lambda}{s} \hat{s}$$

$$B \cdot 2\pi s = \mu_0 I \Rightarrow \vec{B} = \frac{\mu_0 I}{2\pi s} \hat{\phi}$$

$$\vec{S} = \frac{1}{\mu_0} [\vec{E} \times \vec{B}] = \frac{1}{\mu_0} \frac{1}{2\pi\epsilon_0} \frac{\lambda}{s} \frac{\mu_0 I}{2\pi s} (\hat{s} \times \hat{\phi})$$

$$\vec{S} = \frac{1}{4\pi^2\epsilon_0} \frac{\lambda I}{s^2} \hat{z}$$

Como vimos:

$$P = \int \vec{S} \cdot d\vec{\Sigma} = \frac{\lambda I}{4\pi^2\epsilon_0} \int_a^b \frac{1}{s^2} 2\pi s ds = \frac{\lambda I}{2\pi\epsilon_0} \ln \frac{b}{a} = V I$$

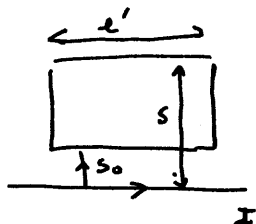
O momento acumulado no campo tem:

$$\begin{aligned} \vec{P}_{\text{em}} dV &= \hat{z} \epsilon_0 \mu_0 \int \vec{S} dV = \frac{\epsilon_0 \mu_0}{4\pi^2\epsilon_0} \hat{z} \lambda I \int \frac{1}{s^2} l 2\pi s ds \\ &= \frac{\mu_0 \lambda I l}{2\pi} \hat{z} \ln \left( \frac{b}{a} \right) \end{aligned}$$



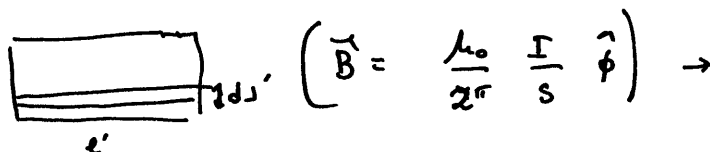
Observações: Como o eixo axial não se move, o momento linear  $|\vec{L}|$  deve ser nulo. Nas obitas, o momento armazenado no campo electromagnético é diferente de zero. Isso implica que deve haver um momento mecânico também não nulo e que compense. De onde virá este momento mecânico?

Imaginemos agora que aumentamos  $R$  ( $R$  é uma resistência variável) continuamente. Em consequência, a corrente  $I$  diminui. A diminuição da corrente  $I$  induz um campo eléctrico:



$$\oint \vec{E} \cdot d\vec{l} = E(s_0) l - E(s) l = - \frac{d}{dt} \int \vec{B} \cdot d\vec{\Sigma}$$

$$= - \frac{\mu_0}{2\pi} \frac{d\phi}{dt} = - \frac{d}{dt} \int_{s_0}^s \frac{\mu_0}{2\pi} \frac{I(t)}{s'} l ds'$$



$$= - \frac{\mu_0 l}{2\pi} \frac{dI}{dt} \ln s + C \Rightarrow$$

$$\Rightarrow \vec{E} = \left[ \frac{\mu_0}{2\pi} \frac{dI}{dt} \ln s + C \right] \hat{z}$$

Este campo exerce uma força (por unidade de comprimento) nos condutores da bobina:

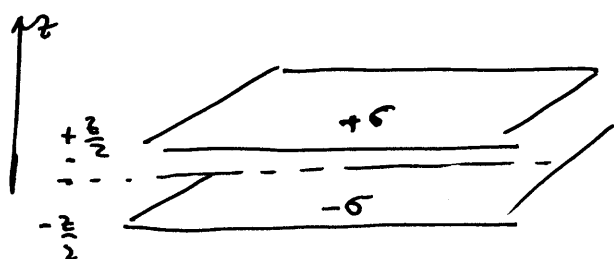
$$\vec{F} = -\lambda l \left[ \frac{\mu_0}{2\pi} \frac{dI}{dt} \ln \left( \frac{b}{a} \right) \right] \hat{z}$$

A variação do campo produz um impulso mecânico no cabo:

$$I = \int_{I(t)}^{I(0)} F dt = \frac{\mu_0 \lambda I l}{2\sigma} \ln \frac{b}{a} \frac{1}{z}$$

Este impulso corresponde à variação do momento linear associado um campo!! Mas o cabo não se move. Porque (ver odiário: efeito relativístico).

### Problema 8.5 (Griffiths):



- Determinar os elementos de tensor de Maxwell no espaço entre as placas.
- Calcular a força total por unidade de área que atua na armadura superior.
- Calcular o momento por unidade de área, por unidade de tempo que atravessa o plano  $xy$ .
- Obter a força por unidade de área que a armadura superior sente.

a)  $\vec{B} = 0$ ;  $\vec{E} = -\frac{\sigma}{\epsilon_0} \hat{z}$

$T_{ij}$  só tem elementos diagonais

$$T_{xx} = -\frac{1}{2} \epsilon_0 E^2 = T_{yy} \quad ; \quad T_{zz} = \frac{\epsilon_0}{2} E^2$$

$$\vec{T} = \begin{bmatrix} - & & \\ & - & \\ & & 1 \end{bmatrix} \frac{\sigma^2}{2\epsilon_0}$$

b)  $F_z = \int \vec{T}_{zz} \hat{n}_z d\vec{z} = -\frac{\sigma^2}{2\epsilon_0} A$  → área do arado superior

$(\hat{n} = -\hat{z} \quad ; \quad d\vec{z} = dx dy)$

$$\vec{f} = -\frac{\sigma^2}{2\epsilon_0} \hat{z}$$

c)  $-T_{zz} = \frac{\sigma^2}{2\epsilon_0} \equiv$  momento por unidade de área (xy) por unidade de tempo.

d) A <sup>por unidade</sup> força  $\vec{f}$  por o arado superior sente é igual ao ~~momento~~ momento por o arado superior por unidade de tempo. (2 ar.) ;  $f = -\frac{\sigma^2}{2\epsilon_0} !$

## Conservação do momento angular:

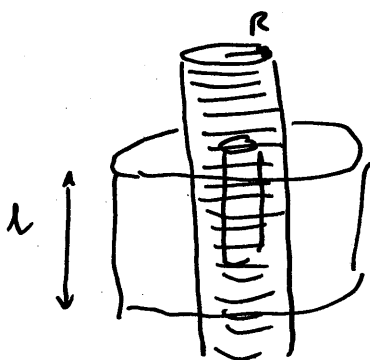
$\vec{p}_{em} = \mu_0 \epsilon \vec{S} \equiv$  densidade de volume de momento linear electromagnético.

Evidentemente que podemos também definir uma densidade volumica de momento angular:

$$\vec{l}_{em} = \vec{r} \times \vec{p}_{em} = \epsilon \mu_0 \left[ \vec{r} \times \frac{1}{r} \vec{E} \times \vec{B} \right]$$

Vejamus um exemplo que ilustra este facto:

### Exemplo 8.4 (Griffiths)



Um solenoide (m espiras/comprimento) muito longo transporta uma corrente  $I$ . Concomitantemente, existem 2 superfícies cilíndricas de altura  $l$ , uma dentro (raio  $a$ ) carga  $+Q$  uniformemente distribuído, outro externo (raio  $b$ ), carga  $-Q$ .

Quando a corrente no solenoide começa a diminuir, os cilindros começam a rodar. Porquê?

( $l \gg b$ )

Solução:

No espaço entre cilindros existe um campo eléctrico radial que podemos facilmente calcular:

$$E(s) 2\pi s \cdot l = \frac{Q}{\epsilon_0}$$

$$\vec{E}(s) = \frac{Q}{2\pi \epsilon_0 l} \frac{1}{s} \hat{s} \quad (a < s < b)$$

e um campo magnético:

$$\vec{B} = \mu_0 n I \hat{z} \quad s < R$$

Isso dá origem a uma densidade volumétrica de momento linear:

$$\vec{\phi}_{\text{em}} = \epsilon_0 (\vec{E} \wedge \vec{B}) = \cancel{\frac{Q}{2\pi \epsilon_0 l}} \frac{1}{s} \mu_0 n I \underbrace{(\hat{s} \wedge \hat{z})}_{-\hat{\phi}}$$

$$\vec{\phi}_{\text{em}} = - \frac{\mu_0 n I Q}{2\pi l s} \hat{\phi} \quad (a < s < R)$$

$$\vec{p}_{\text{em}} = 0 \quad (\text{semelhante pontos})$$

$$\vec{l}_{\text{em}} = \vec{r} \wedge \vec{p}_{\text{em}} = - \frac{\mu_0 n I Q}{2\pi l} \underbrace{\hat{r} \wedge \hat{\phi}}_{\hat{z}}$$

O momento angular total armazenado nos campos é

$$\begin{aligned} \vec{L}_{\text{em}} &= \vec{l}_{\text{em}} \cdot \pi(R^2 - a^2) \cdot l \hat{z} \\ &= - \frac{\mu_0 n I Q}{2\pi l} \pi(R^2 - a^2) l \hat{z} \end{aligned}$$

$$\vec{L}_{\text{em}} = - \frac{\mu_0 n I Q}{2} (R^2 - a^2) \hat{z}$$

Quando  $I$  começa a diminuir, a variação de fluxo  
requerida gera um campo elétrico (circunferencial),  
de acordo com a Lei de Faraday:

$$2\pi s E(s) = - \frac{d\phi}{dt} \quad \cancel{\pi} s \cdot \mu_0 n \frac{dI}{dt} \quad (s < R)$$

$$\bullet \vec{E}(s) = - \frac{\mu_0 n}{2} \frac{dI}{dt} s \hat{\phi}$$

e

$$2\pi s E(s) = - \pi R^2 \mu_0 n \frac{dI}{dt} \quad (s > R)$$

$$\bullet \vec{E}(s) = - \frac{1}{2} \frac{\mu_0 n R^2}{s} \frac{dI}{dt} \hat{\phi} \quad s > R$$

Este campo do origem a momentos mecânicos em  
folhas cilíndricas:

Folha externa:

$$\vec{M}_b = \vec{R} \wedge (-Q) \vec{E} = \frac{Q}{2} \frac{\mu_0 n R^2}{\cancel{s}} \frac{dI}{dt} \cdot \cancel{\hat{z}} \hat{z}$$

Folha interna:

$$\begin{aligned} \vec{M}_a &= -a (+Q) \frac{\mu_0 n}{2} \frac{dI}{dt} Q (\hat{r} \wedge \hat{\phi}) \\ &= - \frac{1}{2} \mu_0 n Q a^2 \frac{dI}{dt} \hat{z} \end{aligned}$$

Quando  $I$  diminuir para zero, o impulso angular nos cilindros de origem o mesmo momento angular.

$$\begin{aligned}\vec{L}_a &= \int M_a(t) dt \\ &= -\frac{1}{2} \mu_0 n Q a^2 \underbrace{\int_1 \frac{dI}{dt} dt}_{(-I)}\end{aligned}$$

$$\vec{L}_a = \frac{1}{2} \mu_0 n Q a^2 I \hat{z}$$

$$\begin{aligned}\vec{L}_b &= \int M_b(t) dt \\ &= \frac{Q}{2} \mu_0 n R^2 \int \frac{dI}{dt} dt \\ &= -\frac{1}{2} Q \mu_0 n I R^2 \hat{z}\end{aligned}$$

Neste instante o momento angular armazenado no campo foi destruído e o momento mecânico da rotação do cilindro é:

$$\vec{L}_{\text{mec}} = \vec{L}_a + \vec{L}_b = -\frac{1}{2} \mu_0 n I Q (R^2 - a^2) \hat{z}$$

$$\equiv \vec{L}_{\text{em}} \text{ inicialmente armazenado no campo.}$$